

# برآورد دمای سطح زمین با استفاده از تصاویر ماهواره لندست ۸ و الگوریتم پنجره مجزا

## مطالعه موردي: حوضه آبريز مهاباد

بختیار فیضی زاده<sup>۱</sup>  
خلیل دیده بان<sup>۲</sup>  
خلیل غلام نیا<sup>۳</sup>

تاریخ پذیرش مقاله: ۹۴/۱۲/۲۸

تاریخ دریافت مقاله: ۹۴/۰۹/۱۳

\*\*\*\*\*

### چکیده

دمای سطح زمین یکی از معیارهای مهم در برنامه‌ریزی ناحیه‌ای و منطقه‌ای می‌باشد. دمای سطح زمین در بسیاری از برنامه‌های کاربردی محیط زیست، کشاورزی، هوشناسی و سایر پژوهه‌ها می‌تواند مورد استفاده واقع شود. با توجه به محدودیت ایستگاه‌های هوشناسی، سنجش از دور می‌تواند به عنوان پایه و اساس بسیاری از داده‌های هوشناسی مورد استفاده قرار گیرد. یکی از مهمترین جنبه‌های کاربردی سنجش از دور در مطالعات اقلیم‌شناسی برآورد دمای سطح زمین می‌باشد. در این راستا، الگوریتم پنجره مجزا به عنوان یک روش مؤثر در استخراج دمای سطح زمین محسوب می‌شود؛ که براساس منابع علمی بیشترین دقت را ارائه می‌دهد. در این پژوهش از تصاویر چند طیفی و حرارتی ماهواره لندست ۸ برای برآورد دمای زمین در حوضه آبریز مهاباد استفاده شده است. برای نیل به هدف، بعد از انجام تصحیحات رادیومتریک نسبت به مدل‌سازی و تجزیه و تحلیل تصاویر اقدام شد. بطوری که شاخص پوشش گیاهی، کسری پوشش گیاهی، دمای روشنایی ماهواره، قابلیت انتشار سطح زمین، ستون بخار آب که از معیارهای مؤثر در برآورد دمای سطح زمین با روش الگوریتم پنجره مجزا می‌باشد، با انجام محاسبه روابط ریاضی مقادیر لازم برای محاسبه دمای سطح زمین بدست آمدند. در نهایت دمای سطح زمین با دقت معادل ۱/۴ درجه سانتیگراد برآورد شد. مناطق با پوشش گیاهی زیاد و پوشیده از آب (سد) دمای کم و مناطق با پوشش گیاهی کم و خاک لخت دمای بالایی را نشان می‌دهند که همه در تغییرات دمایی منطقه مورد مطالعه مؤثر می‌باشند. نتایج تحقیق بیانگر این مهم است که روش الگوریتم پنجره مجزا نتایج قابل اعتماد و مطمئنی را در برآورد دمای سطح زمین ارائه می‌دهد که می‌تواند در مطالعات زیست محیطی و علوم زمین مورد استفاده قرار گیرد.

واژه‌های کلیدی: دمای سطح زمین، الگوریتم پنجره مجزا، مهاباد، تصاویر ماهواره ای لندست

\*\*\*\*\*

۱. استادیار گروه GIS و RS دانشگاه تبریز feizizadeh@tabrizu.ac.ir

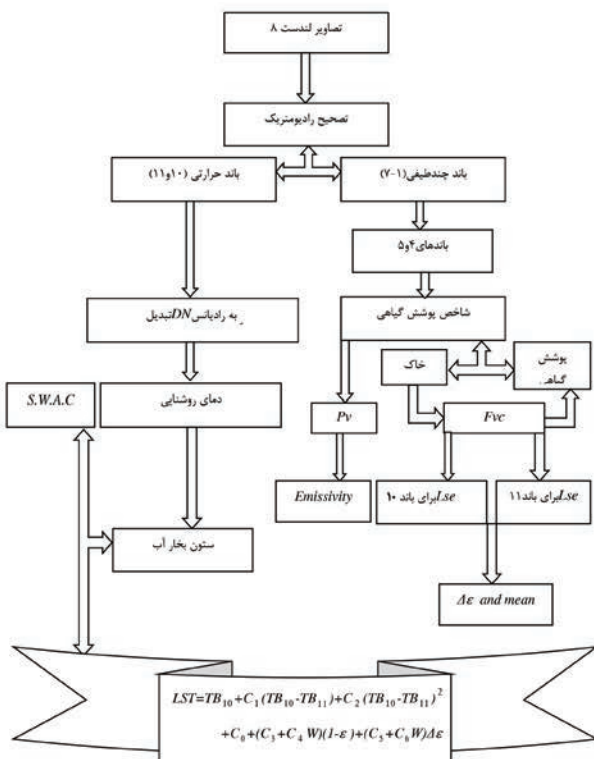
۲. دانشجوی کارشناسی ارشد GIS و RS دانشگاه تبریز (نویسنده مسئول) khalildidhban@yahoo.com

۳. دانشجوی کارشناسی ارشد GIS و RS دانشگاه تبریز khalilgholamnia@yahoo.com

استفاده از ارایه الگوریتم پنجره مجزا نسبت به روش تک کanal است. دوم، فیلترهای طیفی دو باند TIRS باریکتر از باند حرارتی پردازنده TM و ETM هستند. دو کanal مادون قرمز حرارتی پنهانی باند باریک در TIRS، که می‌تواند بهتر اطلاعات سطح زمین را دریافت کند. در نتیجه سنسورهای حرارتی لندست ۸ درک بهتری از دمای سطح زمین ارائه می‌دهند و در مطالعات آینده یک مرجع مناسب برای اندازه‌گیری دمای سطح زمین است.

الگوریتم پنجره مجزا براساس تحلیل‌های ریاضی است. با استفاده از اطلاعات زمینی، اطلاعات دمای روشنایی سنسور حرارتی (TIRS)، قابلیت انتشار سطح زمین (LSE) و عامل پوشش گیاهی جزء به جزء (FVC) بدست آمده از باند چند طیفی OLI محاسبه دمای سطح زمین را فراهم می‌کند (ShahidLatif, 2014: 3848).

. (ShahidLatif, 2014: 3848)



نگاره ۱: چارت روشکار (مأخذ: نگارندهان)

2 - Land Surface Emissivity

3 - Fraction Of Vegetation Cover

## ۱- مقدمه

دمای سطح زمین یکی از مهمترین پارامترهای مؤثر در مطالعات جهانی به حساب می‌آید؛ که فاکتوری مهم در کنترل فرآیندهای بیولوژیکی، شیمی و فیزیکی زمین می‌باشد (Alavipanah, et al, 2009:288). دمای سطح زمین تابعی از انرژی خالص در سطح زمین است که به مقدار انرژی رسیده به سطح زمین، گسیلنده‌گی سطح، رطوبت و جریان هوای اتمسفر بستگی دارد. می‌توان این دما را با استفاده از تابش مادون قرمز که از سطح زمین ساطع می‌گردد به وسیله معادله معکوس پلانک برآورد نمود. در سنجش از دور، دمای سطح زمین را که در فضای بالای اتمسفر بوسیله سنجنده‌ها بدست می‌آید دمای روشنایی می‌نامند؛ که تحت تأثیر جذب و پخش اتمسفری کمتر از دمای سطح زمین می‌باشد (Reutter, et al, 1994:101).

بسیاری از روش‌های بازیابی دمای سطح زمین از اطلاعات سنجش از دوری ارائه شده توسط چند کanal مادون قرمز (TIR) داده‌های حرارتی استفاده می‌کنند و این روش را می‌توان تقریباً به سه گروه تقسیم کرد: الگوریتم تک کanal، الگوریتم چندکanal (به عنوان مثال، الگوریتم پنجره مجزا) و روش چندزمانه. در میان این روش‌ها، رایج‌ترین روش، الگوریتم پنجره‌ی مجزا است که با استفاده از این الگوریتم برای حذف اثر جو و بدست آوردن دمای سطح زمین با ترکیب خطی یا غیرخطی از درجه روشنایی حرارت دوکanal مجاور ۱۱ و ۱۲ میکرومتر استفاده شده است (Becker, et al,) 1995:227).

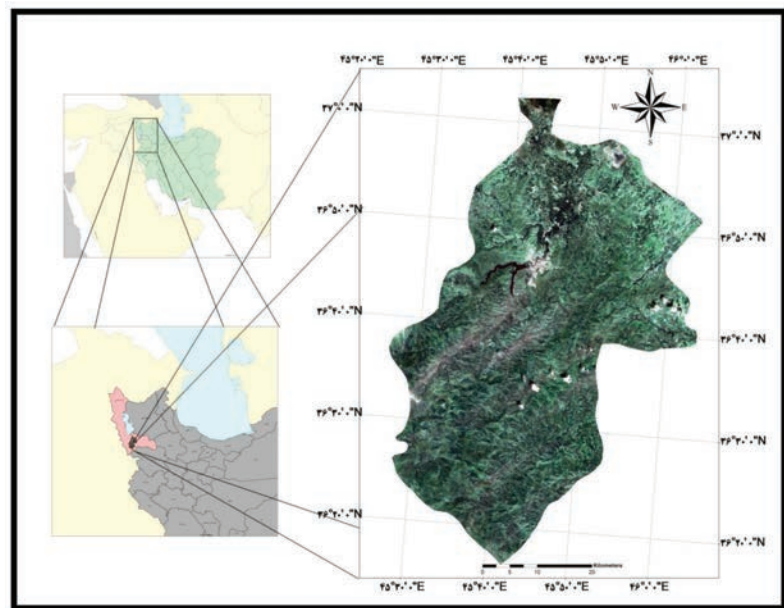
باندهای حرارتی لندست ۸ در محدوده طیفی ۱۱ و ۱۲ میکرومتر فعال هستند. این خود باعث می‌شود که در الگوریتم پنجره مجزا بتوان از داده‌های این ماهواره استفاده کرد. در مقایسه TIRS با سنجنده (TM) و (ETM) که تنها یک کanal مادون قرمز حرارتی دارند ابزار TIRS دارای دو مزیت است. اول TIRS دو کanal مادون قرمز حرارتی در پنجره جوی دارد که یک فرصت بازیابی LST جدید با

1- Land Surface Temperature

فصلنامه علمی - پژوهشی اطلاعات جغرافیایی (جغرافیا)

برآورد دمای سطح زمین با استفاده از تصاویر ماهواره ... / ۱۷۳

نگاره ۲: معرفی منطقه مورد مطالعه (ماخن: نگارندگان)



حاکی از آن است که روش بکار رفته در این تحقیق، جهت تخمین مقادیر بازتابش و درجه حرارت سطح، بررسی مناطق شهری غیریکنواخت، بادقت قابل قبولی عملی بوده و می‌تواند به منظور برآورد میزان توسعه شهری در یک دوره زمانی، مورد استفاده قرار گیرد.

امینی و دیگران (۱۳۹۳) در پژوهشی به کمک سنجش از دور، تراکم و پراکنش مکانی پوشش گیاهی و دمای پوشش سطح زمین در استان همدان را مورد بررسی قرار دادند. ابتدا با پیش پردازش اطلاعات ۱۲ تصویر ماهواره‌ای (۱۳۸۸-۱۳۷۷+ ETM+) ضریب بازتاب پوشش سطح زمین و ضریب تابش پوشش سطح زمین در باندهای مختلف به دست آمد و شاخص گیاهی NDVI تعیین شده، تراکم، پراکنش پوشش گیاهی و دمای پوشش سطح زمین با استفاده از الگوریتم سibal برآورد گردید. نتایج نشان داد که دمای سطح زمین برآورد شده از اطلاعات سنجش از دور، مطابقت قابل قبولی با آمار ثبت شده در ایستگاه‌های هواشناسی دارد که بین مقادیر دمای پوشش سطح برآورد شده و اندازه‌گیری شده، اختلاف معنی‌داری مشاهده نمی‌شود. نتایج کلی نشان داد که الگوریتم سibal با ضریب همبستگی ۰/۷۵، ریشه میانگین مربعات خطای ۴/۵ درجه سانتی گراد و میانگین خطای مطلق

در این راستا آگاهی از تغییرات مکانی دمای هوا در مقیاس‌های وسیع جهت انجام مطالعات و بررسی‌های اقلیمی، هواشناسی، هیدرولوژیکی لازم به نظر می‌رسد. از آنجایی که ایستگاه‌های هواشناسی فقط اطلاعات دما را برای نقاطی خاص اندازه‌گیری می‌کنند، مقادیر بدست آمده فقط می‌تواند مربوط به همان نقطه باشد، با توجه به پوشش زمین و دیگر شرایط دمایی، دما در نقاط مختلف یک مکان می‌تواند چندین درجه سانتیگراد پایین‌تر یا بالاتر باشد یا به عبارتی دیگر شرایط فیزیکی، پوشش زمین و تغییرات ایجاد شده، باعث تغییر دمای سطح زمین خواهد شد. این امر ایجاب می‌کند از روش‌های علمی (الگوریتم معجز) که امکان محاسبه دمای هر نقطه از سطح زمین را فراهم می‌کند استفاده کنیم، تا بتوان تحقیقات و پژوهش‌های علوم زمین را در رابطه با دمای سطح زمین انجام داد. روش‌های سنجش از دوری یکی از بهترین روش‌های نوبrai محاسبه دمای سطح زمین با توجه به شرایط مکانی می‌باشد. در این زمینه تحقیقاتی انجام شده که از جمله آن می‌توان به موارد زیر اشاره کرد:

ملک پور و همکاران (۱۳۸۹) تحقیقی در رابطه با تخمین درجه حرارت سطح زمین با استفاده از داده‌های سنجنده‌ی ETM+ و الگوریتم سibal در شهر تهران انجام دادند. نتایج

ثانیه و میانگین دمای سالیانه ۱۲ درجه‌سانتی گراد دارای آب و هوای کوهستانی با زمستان‌های سرد و تابستان‌های نسبتاً معتدل می‌باشد. همچنین منطقه مورد مطالعه، منطقه‌ای با تغییرات کاربری بالا می‌باشد که در تغییرات دمای منطقه تأثیر گذار است (نگاره شماره ۲).

### ۳- روش تحقیق

برای انجام این تحقیق از تصاویر لندست ۸ استفاده شده است. با توجه به اینکه منطقه مورد مطالعه در گذر ۱۶۸ و ردیف‌های ۳۴ و ۳۵ قرار گرفته از نرم‌افزار Envi5.1 برای باندهای مورد نظر و موزاییک کردن دو تصویر استفاده شد. برای انجام تصحیح رادیومتریک تصاویر نیز از همین نرم‌افزار با استفاده از روش FLAASH<sup>۳</sup> اقدام شده است. فلش اولین ابزار تصحیح آتمسفری می‌باشد که طول موج قابل روئیت و طول موج‌های مادون قرمز و مادون قرمز نزدیک تا ۳ میکرومتر را تصحیح می‌کند (Offer, et al., 2014). در روش فلش از فایل Meta Data برای تصحیح باندهای مورد نظر که شامل باندهای چند طیفی و باندهای حرارتی است، استفاده شده که برای باندهای چند طیفی عملیات رادیانس و ریفلکت انجام گرفته ولی برای باندهای حرارتی فقط عملیات رادیانس انجام شد. از مزایای مهم این برنامه جانبی طبقه‌بندی کردن باندهای تصاویر ماهواره‌ای مورد استفاده می‌باشد. مثلاً تصویر ماهواره لندست هشت در این روش بصورت جدول شماره ۱ طبقه‌بندی خواهد شد.

جدول ۱: طبقه‌بندی باندها تصاویر لندست ۸ در روش فلش

ردیف	باند	شماره باند
۱	Multi Spectral	۷-۱
۲	Panchromatic	۸
۳	Cirrus	۹
۴	Thermal	۱۱-۱۰

(مأخذ: نگاره ۲)

۲/۴ درجه سانتی گراد، از دقت قابل قبولی برخوردار است. (Feizizadeh, et al, 2012) در پژوهشی که در شهرستان مراغه با استفاده از داده‌های ETM+ و الگوریتم سبال<sup>۱</sup> انجام دادن، ارزش LST در شهرها، روستاهای همچنین مناطق مختلف خاک لخت را برآورد کردند.

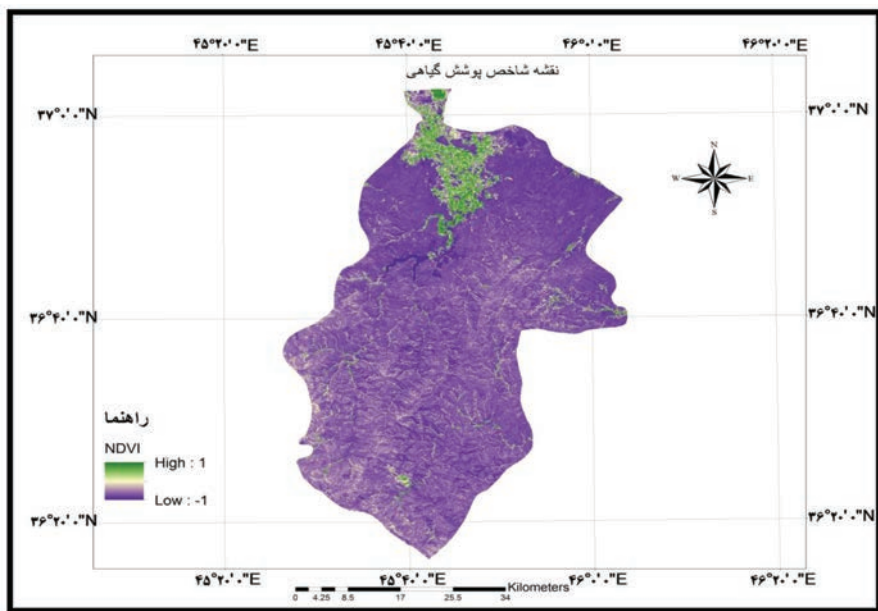
براساس نتایج این تحقیق حداقل ارزش LST با مناطق رخنمون سنگ همراه بوده و مقدار LST<sup>۲</sup> یک رابطه معکوس با مقدار رطوبت و پوشش گیاهی دارد. (Rajeshwari & Mani, 2014) به برآورد دمای سطح زمین با استفاده از الگوریتم پنجره مجزا و تصاویر ماهواره‌ای لندست ۸ پرداختند و صحت این روش را مورد ارزیابی قرار دادند و مقدار RMSE را برای کار K0.9 محاسبه نمودند. (Offer, et al., 2014) در پژوهشی با استفاده از روش الگوریتم پنجره مجزا دمای سطحی منطقه مورد مطالعه را با استفاده از تصاویر لندست ۸ برآورد کردند که ریشه مربعات خطای Lst را ۰/۹۳ درجه سانتی گراد برآورد نمودند.

در تمام تحقیقات انجام شده برای برآورد دمای سطح زمین از روش‌های مختلفی استفاده شده است که می‌توان گفت روش Split Window نسبت به روش‌های دیگر جهت برآورد دمای سطح زمین برتری دارد.

### ۲- محدوده مورد مطالعه

شهرستان مهاباد در شمال غرب ایران و جنوب استان آذربایجان غربی در دامنه کوه لند شیخان واقع شده است. منطقه مورد مطالعه در موقعیت طول جغرافیایی ۴۵ درجه و ۲۵ دقیقه تا ۴۶ درجه و ۴۲ دقیقه شرقی و عرض جغرافیایی ۳۶ درجه و ۱۶ دقیقه تا ۳۷ درجه و ۲۳ دقیقه شمالی قرار گرفته و با دو بخش، مرکزی و خلیفان دارای ۲۲۴ روستا می‌باشد. مساحت منطقه مورد مطالعه ۲۵۹۱ کیلومتر مربع است و ۲۱۵,۵۲۹ نفر جمعیت دارد (بر اساس سرشماری سال ۱۳۹۰). از لحاظ اقلیمی این شهرستان با میانگین بارش سالیانه ۳۳۰ میلی متر، متوسط سرعت وزش باد ۸ متر در

## فصلنامه علمی - پژوهشی اطلاعات جغرافیایی (سمر) برآورد دمای سطح زمین با استفاده از تصاویر ماهواره ... / ۱۷۵



نگاره ۳: نقشه شاخص پوشش  
گیاهی منطقه مورد مطالعه  
(ماحل: نگارندگان)

گیاهی شناخته شده است (Casa, 1990). فرایند محاسباتی ساده دارد و در مقایسه با دیگر شاخص‌ها دارای بهترین توان دینامیکی می‌باشد. این شاخص بیشترین حساسیت را به تغییرات پوشش گیاهی داشته و در مقابل اثرات جویی و زمینی خاک (به جز در مواردی که پوشش گیاهی کم باشد)، حساسیت کمتری دارد. برای برآورد شاخص پوشش گیاهی از باندهای قرمز (۴) و مادون قرمز نزدیک (۵) تصاویر لندست ۸ استفاده شده است. فرمول محاسبه شاخص پوشش گیاهی به شرح زیر است:

(۲)

$$NDVI = \frac{(Band^5 - Band^4)}{(Band^5 + Band^4)}$$

که نتیجه حاصل از این فرمول تصویری با دامنه بین  $-1 < NDVI < 1$  می‌باشد. (نگاره شماره (۳))

این شاخص با استفاده از فرمول NDVI که در بالا ذکر شده محاسبه و مقدار آن بین اعداد ۱+ تا ۱- تغییر می‌کند (نگاره شماره (۴)). مقادیر منفی در این شاخص حاکی از عدم حضور پوشش گیاهی و مقادیر مثبت مناطقی با پوشش گیاهی را نشان می‌دهد. مقدار این شاخص تحت تأثیر عواملی قرار می‌گیرد و در دمای منطقه تاثیر گذار می‌باشد. بطوریکه مناطق دارای پوشش گیاهی و آب بدلیل داشتن

این روش تنها برای باندهای چند طبقی مود استفاده قرار می‌گیرد و سپس برای نرمالیزه کردن باندهای مورد نظر بین ۱-۰ از فرمول زیر استفاده شد.

(۱)

$$(b^1_{Le} 0)*0(b^1_{Ge} 10000)*1(b^1_{Gt} 0 \text{ and } b^1_{Lt} 10000)*Float(b^1)/10000$$

بعد از اینکه تصاویر از لحظه انجام عملیات پیش پردازش آماده شدند، برای دست یافتن به هدف مورد نظر که برآورد دمای سطح زمین در منطقه مورد مطالعه می‌باشد مراحل مربوطه در بخش بحث انجام گرفت.

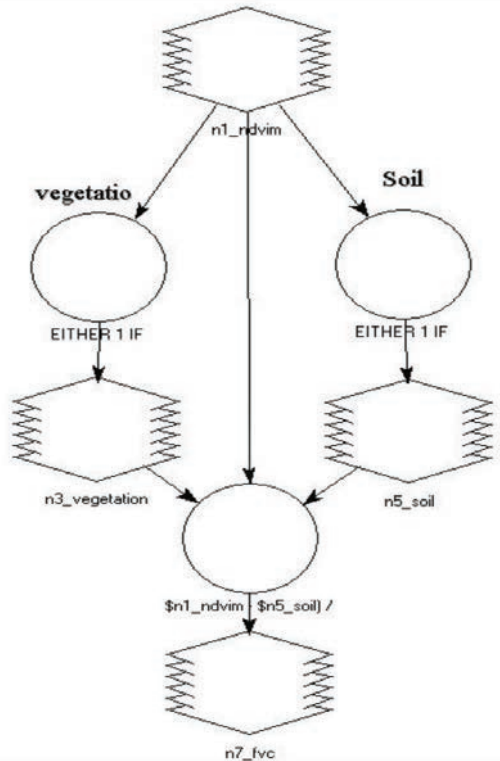
### ۴- بحث

#### ۴-۱ برآورد شاخص پوشش گیاهی (NDVI)

با توجه به اینکه شاخص پوشش گیاهی نقش عمده‌ای در نقل و انتقال انرژی بین زمین و اتمسفر دارد و آثار متفاوتی بر روی عناصر اقلیمی از جمله دمای پیرامون خود می‌گذارد؛ در نتیجه می‌توان آن را بعنوان یکی از فاکتورهای تأثیرگذار در محاسبه دمای سطح زمین (LST) به حساب آورد.

این شاخص از معروف‌ترین، ساده‌ترین و کاربردی‌ترین شاخص‌هایی است که در زمینه‌ی مطالعات پوشش

رطوبت نسبی از دمای کمتری نسبت به مناطق عاری از کتنند و به این تشعشعات،  
شار تابشی گفته می‌شود.



نگاره ۴: مدلسازی کردن FVC (مانند: نگارنده‌گان)

در یک جسم تیره تمام حرارت جذب شده منتشر شده و قدرت انتشار انرژی یک ماده واقعی نسبت به یک جسم سیاه را گسیلنده‌گی می‌گویند.

شار تابشی توسط فاکتورهایی همچون مقدار آب، ترکیب شیمیایی و ناهموارهای سطحی کنترل می‌شود. همچنین شار تابشی برای پوشش گیاهی به نوع گیاه و چگالی منطقه بستگی دارد و مقدار کمیت آن بین صفر تا یک متغیر است و موادی که € بالایی دارند مقدار زیادی انرژی جذب و همان مقدار انرژی منتشر می‌نمایند.

قابلیت انتشار اجسام وابسته طول موج است. یعنی هنگامی که قابلیت انتشار انرژی از اجسام واقعی در طول موج‌های مختلف اندازه‌گیری شود، مقادیر متفاوتی حاصل خواهد شد.

**۴-۲- برآورد کسری پوشش گیاهی (FVC)**  
پوشش گیاهی سبز جزء به جزء (FVC) یکی از پارامترهایی است که در بسیاری از برنامه‌های کاربردی محیط زیست و تغییرات آب و هوایی کاربرد دارد. یک رویکرد مشترک برای برآورد FVC شامل ترکیبی غیرخطی از دو عنصر طیفی در یک تصویر سنجش از راه دور شامل؛ خاک لخت و پوشش گیاهی سبز است. خواص طیفی از این دو عنصر معمولاً به صورت‌های مختلف برآورد می‌شود که شامل اندازه‌گیری‌های میدانی، برآورد از منابع داده‌های اضافی (به عنوان مثال، پایگاه داده خاک و یا نقشه‌های پوشش اراضی)، و یا به طور مستقیم از تصاویر استخراج شده است (Janson, et al, 2007). الگوریتم وابسته به یک تجزیه و تحلیل روش بهینه‌سازی مخلوط طیفی (SMA) بر اساس قضیه پوشش گیاهی، همراه با استفاده از استاندارد SMA، برای بهبود درک از تأثیرپذیری دو عنصر در اشتقاء از بخش پوشش گیاهی زیرپیکسل‌ها در مقیاس جهانی است (Garcia, et al, 2005: 26).

برای محاسبه Fvc از رابطه زیر استفاده می‌شود:

(۳)

$$Fvc = (NDVI - NDVI_s) / (NDVI_v - NDVI_s)$$

در این رابطه

NDVI = شاخص پوشش گیاهی

NDVI<sub>s</sub> = مناطق بدون پوشش گیاهی شاخص

NDVI<sub>v</sub> = مناطق پوشیده از گیاه شاخص

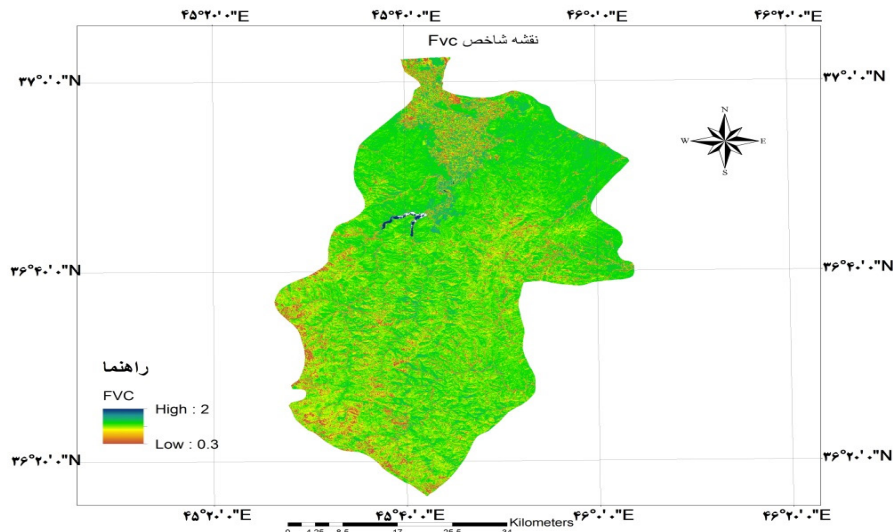
برای بدست آوردن مناطق با پوشش و بدون پوشش گیاهی از مدلسازی کردن در محیط Model Maker در نرم

افزار Erdas استفاده شد. (نگاره (۴) و (۵))

#### ۴-۳- برآورد قابلیت انتشار (Emissivity)

اجسام با درجه حرارت بالاتر از صفر مطلق، تشعشعات

فصلنامه علمی - پژوهشی اطلاعات جغرافیایی (سیر)  
برآورد دمای سطح زمین با استفاده از تصاویر ماهواره ... / ۱۷۷



**نگاره ۵: نقشه شاخص FVC**  
(ماخن: نگارندگان)

$LSE = \text{قابلیت انتشار سطح زمین}$   
 $E^{S-V} = \text{انتشار گیاه و خاک برای باندهای حرارتی طبق جدول شماره ۱}$

**جدول ۲: Emissivity برای خاک و گیاه**

قابلیت انتشار	باند ۱۰	باند ۱۱
خاک	۰/۹۷۱	۰/۹۷۷
گیاه	۰/۹۸۷	۰/۹۸۹

بعد از محاسبه کردن LSE برای هر یک از باندهای حرارتی، اختلاف و میانگین این دو باند نیز محاسبه شد:  
 $E = (E^{10} - E^{11}) / 2$  (۶)

$$\Delta E = (E^{10} - E^{11})$$
 (۷)

اختلاف LSE برای باندهای ۱۱ و ۱۰ میانگین  $\Delta E = ۱۰$  میانگین  $\Delta$  اما کاربرد باندهای حرارتی بیشتر در این مراحل نمود پیدا می کند که ابتدا نیاز به انجام رادیانس باندهای حرارتی تصویر لندست ۸ می باشد که برای این امر می توان از فرمول زیر استفاده کرد.

$$L_\lambda = M^l Q^{cal} + A^l$$
 (۸)

$$M^l = \text{radiance\_mult\_band\_10/11}$$

$$Q^{cal} = ۱۰\text{ و }۱۱$$

$$A^l = \text{radiance\_add\_band\_10/11}$$

قابلیت انتشار برخی از مواد طبیعی در محدوده طول موج ۱۲-۸ میکرومتر که در سنجش از دور کاربرد زیادی دارد دیده می شود (Buettner, K.j. k. and ken, 1965:1333). وند گریند و اوو در سال ۱۹۹۳ رابطه بین شار تابشی و شاخص پوشش گیاهی را بدست آوردن، که با رابطه زیر قابل محاسبه می باشد.  
(۴)

$$Pv = ((NDVI - NDVI^{Min}) / (NDVI^{Max} - NDVI^{Min}))^2$$

$$E = 0.004 Pv + 0.986$$

$Pv$  = نسبت پوشش گیاهی (Propotion Vegetation)

$NDVI^{Max-Min} = NDVI$  حداقل و حداکثر ارزش پیکسل های

قابلیت انتشار از اجسام =

#### ۴- برآورد قابلیت انتشار سطح زمین (LSE<sup>۱</sup>)

یکی دیگر از معیارهایی که برای محاسبه دمای سطح زمین لازم و ضروری می باشد برآورد قابلیت انتشار در سطح زمین است. که این معیار بصورت جدا گانه در هر دو باند حرارتی ماهواره لندست ۸ برای گیاه و خاک محاسبه شد. (جدول شماره (۲))

رابطه محاسبه LSE بصورت زیر می باشد:

$$(۵)$$

$$LSE = E^s(1-FVC) + E^v*FVC$$

1- Land Surface Emissivity

#### ۴-۷- الگوریتم Split-Window

این الگوریتم از جمله روش‌های مهم در برآورد دمای سطح زمین به حساب می‌آید که نسبت به سایر روش‌ها از دقت بهتری برای محاسبه دمای سطح زمین برخوردار می‌باشد. ویژگی مهم این الگوریتم حذف اثرات جوی می‌باشد. با توجه به این که این الگوریتم اطلاعات دقیق در مورد پروفیل جوی در طول کسب ماهواره‌ای نیاز ندارد، چنین الگوریتم به طورگستره در بازیابی LST از دوسنسور چند طیفی Multi Spectral و سنسور حرارتی Tirs استفاده می‌کند. با توجه به LST در دسترس نبودن یک پایگاه داده برای اندازه‌گیری‌های LST بالندست  $\lambda$  ضرایب C از طریق شبیه‌سازی با اعداد مختلف از شرایط اتمسفر و سطح بدست آمد. (جدول (۳))

#### جدول ۳: ضرایب الگوریتم Split-Window

(Garcia Haro, 2005)  
 (مأخذ: Garcia Haro, 2005)

ضرایب ثابت	ارزش‌ها
C <sub>0</sub>	-0.268
C <sub>1</sub>	1.378
C <sub>2</sub>	0.183
C <sub>3</sub>	54.300
C <sub>4</sub>	-2.238
C <sub>5</sub>	-129.200
C <sub>6</sub>	16.400

با به دست آوردن ضرایب بالا تمام مجهولات موجود در فرمول محاسبه دمای سطح زمین بدست آمد و با جایگزین

#### ۴-۵- برآورد دمای روشنایی ماهواره

(Brightness Temperature)

داده‌های باند حرارتی را می‌توان با استفاده از ثابت حرارتی موجود در فایل متادیتا از طیف درخشندگی به دمای روشنایی تبدیل کرد. که این امر با فرمول زیر محاسبه می‌شود:

$$T = K^2 / \ln (K^1 / L^\lambda + 1) - 272.15 \quad (9)$$

دمای روشنایی ماهواره بر حسب کلوین =  $T = K^2 - K^1$  ثابت حرارتی برای هر دو باند حرارتی موجود در متادیتا درخشندگی جو بالا =  $L^\lambda$

#### ۴-۶- برآورد ستون بخار آب (CWV)

ستون بخار آب در بهبود دقت و بازیابی دمای سطح زمین نقش مهمی را ایفا می‌کند؛ که با فرمول زیر قابل محاسبه می‌باشد.  $C^0...C^2$  ضرایب ثابت بدست آمده از داده‌های شبیه‌سازی شده هستند.

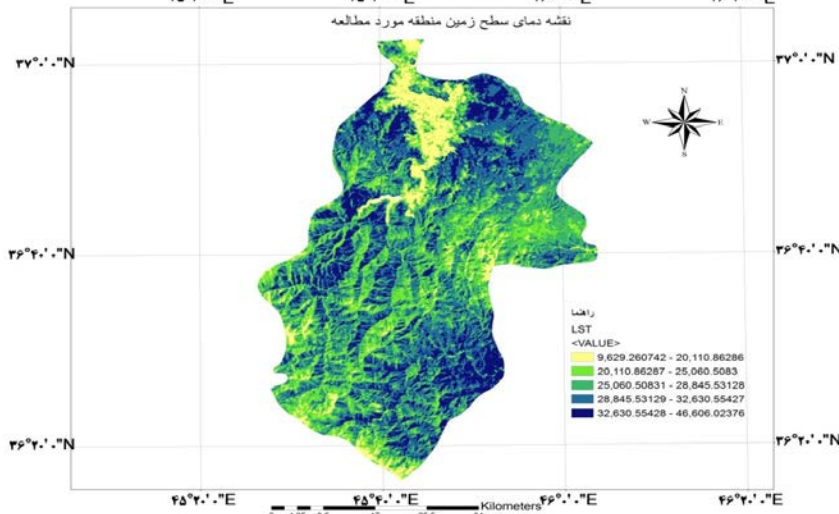
$$CWV = C^0 + C^1 * (T^j / T^i) + C^2 * (T^j / T^i)^2 \quad (10)$$

میانگین دمای روشنایی

$$C^0 = -9.674$$

$$C^1 = 0.653$$

$$C^2 = 9.087$$



نگاره ۶: نقشه دمای سطح زمین منطقه موردمطالعه (مأخذ: نگارنده‌گان)



نگاره ۷: موقعیت ایستگاه هواشناسی  
بر روی نقشه دمای سطح زمین  
(مأخذ: نگارندگان)

کار با روش الگوریتم (SW) ابتدا با استفاده از تصاویر گوگل ارث ایستگاه هواشناسی مهاباد را به صورت لایه برداری تهیه کردیم که با توجه به محل قرارگیری، محدوده پیکسل های با رنگ سبز و آبی نسبت دمای ۲۸/۲۰ برای آن نقطه محاسبه شد (نگاره شماره (۷)). علاوه بر این با میانگین گیری از حداقل و حداکثر دمای بدست آمده از دمای سطح زمین عدد ۲۸/۲۰ درجه نیز برای موقعیت ایستگاه محاسبه شد که این عدد با دمای ثبت شده برای آن ایستگاه در لحظه گذرا ماهواره از آن منطقه ۲۹/۶ درجه (۲۰۱۴ جولای ۲۰۱۴) معادل ۲۹/۶ درجه ثبت شده بود مورد مقایسه قرار گرفت. نتایج نشان می دهد که میزان اختلاف بین دمای ثبت شده در ایستگاه و دمای حاصل از نقشه دمای سطح زمین کمتر از ۲ درجه می باشد که این اختلاف زیادی به حساب نمی آید.

## ۶- نتیجه گیری

دمای سطح زمین از جمله مهمترین پارامترهای اثرگذار در اجزای بیلان آبی در سطح حوزه آبریز می باشد. تولید نقشه های دمای سطح زمین نیاز به باندهای حرارتی دارد که توان تفکیک زمینی پایین داشته و در فواصل زمانی طولانی در اختیار محققان قرار می گیرد (کاوهانی و همکاران، ۱۳۹۲، ص ۲۲).

نتایج این تحقیق نشان می دهد که دمای سطح زمین تحت تأثیر کاربری اراضی مختلف سطح زمین تغییر پیدا می کند.

کردن مقادیر، دمای سطح زمین در محدوده مورد مطالعه فراهم آمد. (نگاره شماره (۶))

$$\begin{aligned} LST &= TB^{10} + C^1(TB^{10} - TB^{11}) + C^2(TB^{10} - TB^{11})^2 + C^0 + \\ &(C^3 + C^4W)(1-\Delta) + (C^5 + C^6W)\Delta \end{aligned}$$

دمای روشنایی =  
ضرایب الگوریتم =  
ستون بخار آب =  
 $\Delta = LSE$

## ۵- تجزیه و تحلیل

همانطور که در بخش های قبلی اشاره شد، روش الگوریتم (SW) یکی از روش های مناسب برای تعیین دمای سطح زمین می باشد که برای دست یافتن به این امر از معیارهای مختلفی استفاده شده است. هریک از این معیارها با انجام روابط ریاضی محاسبه شدند. با جایگذاری کردن در فرمول محاسبه دمای سطح زمین، دمای منطقه مورد مطالعاتی بدست آمد. مقادیر دما بین ۹/۶۲۹ تا ۴۶/۶۰۶ درجه در نوسان بوده است. مناطق با پوشش گیاهی، باغ و پوشیده با آب (سد) دارای کمترین مقادیر دما که بین ۹/۶۲۹ و ۱۷/۰۲۴ در نوسان بوده است. بیشترین مقادیر دما نیز مربوط به نواحی عاری از پوشش گیاهی است که بین ۳۹/۲۱۰ و ۴۶/۶۰۶ درجه در نوسان می باشد. اما برای اثبات میزان دقت

## منابع و مأخذ

- ۱- امینی بازیابی، زارع ابیانه و اکبری؛ سمیرا، حمید و مهدی، (۱۳۹۳)، برآورده دما و شاخص پوشش گیاهی سطح زمین با استفاده از داده‌های سنجش از دور (مطالعه موردی: استان همدان)، پژوهش‌های جغرافیای طبیعی، سال ۱۳۹۳، شماره ۳، ص ۳۴۸-۳۳۳.
- ۲- باعیقده، علیجانی و ضیائیان؛ محمد، بهلول و پرویز، (۱۳۹۰)، بررسی امکان استفاده از شاخص پوشش گیاه NDVI در تحلیل خشکسالی‌های استان اصفهان، مطالعات جغرافیای مناطق خشکسال اول، شماره چهارم، صص ۱۶-۱.
- ۳- نوری، ثنایه‌نژاد و هاشمی؛ سمیرا، حسین و مجید؛ (۱۳۸۹)، برآورده دما سطح زمین با استفاده از تصاویر مودیس در زیر حوضه آبریز مشهد، اولین کنفرانس بین‌المللی مدلسازی گیاه، آب، خاک و هوا، ۱۳۸۹.
- ۴- کاویانی، سهرابی و دانش کارآرسته؛ عباس، تیمور و پیمان (۱۳۹۲)، تخمین دما سطح زمین با استفاده از شاخص اختلاف نرمال شده (NDVI) در تصاویر سنجنده‌های Landsat + و MODIS، مجله هواشناسی کشاورزی جلد ۱، شماره ۱، ص ۱۴-۲۵.
- ۵- ملکپور، طالعی، رضایی و خوشگفتار؛ پیمان، محمد، یوسف و مهدی، (۱۳۸۹)، بررسی درجه حرارت سطح زمین و ارتباط آن با کلاس‌های پوشش کاربری زمین شهری با استفاده از داده‌ای سنجنده ETM + مطالعه موردی شهر تهران، همايش ژئوماتيک.
- 6- Alavipanah, S.K., et al., (2007), Land surface temperature in the Yardang Region of Lut Desert (Iran) based on field measurements and Landsat thermal data, Journal of agricultural science and technology (JAST), 9, 287-303.
- 7- Becker, F., Li, Z.-L. Surface temperature and emissivity at various scales: Definition, measurement and related problems, Remote Sens. Rev, 1995, 12, 225-253.
- 8- Brian Johnson, Ryutaro Tateishi and Toshiyuki Kobayashi, Remote Sensing of Fractional Green

همچنین نتایج حاصل نشان داد که با ایجاد رابطه بین شاخص پوشش گیاهی از جمله NDVI و FVC می‌توانیم درجه حرارت سطح زمین را پیش‌بینی کنیم. همچنین جهت دست پیدا کردن بهتر در رابطه با برآورده دمای سطح زمین می‌توان از تصاویر سنجنده‌های با قدرت تفکیک مکانی باند حرارتی بالاتر استفاده کرد.

روش الگوریتم پنجره مجزا با برآورده دمای سطح زمین نزدیک به دمای برآورده شده بوسیله‌ی ایستگاه هواشناسی مهاباد حدود (۲ درجه سانتی گراد اختلاف) دقت و توانایی این الگوریتم را نشان می‌دهد که مدیران و برنامه‌ریزان شهری بایستی در برنامه‌ریزی‌های آتی به نقش و اهمیت ایجاد فضاهای سبز شهری و گسترش آن در تعديل درجه حرارت سطح زمین شهر مهاباد توجه ویژه نمایند به طوری که در حین مطالعه مشخص شد دمای سطحی در مناطق با پوشش گیاهی کمتر بیشتر است. بطوریکه در بسیاری از تحقیقات مشابه همین نتایج میسر شدند. مناطق عاری از پوشش گیاهی دارای حداکثر LST و مناطق با پوشش زیاد دارای حداقل LST می‌باشد (Feizizadeh, et al, 2012: I).

اما از مزایای این تحقیق کاربردهای این مطالعه در زمینه‌های مختلف مهندسی از جمله کشاورزی، عمران، زمین‌شناسی، هواشناسی، آبخیزداری و سایر رشته‌های دیگر مرتبط با علوم زمین می‌باشد. از آنجایی که ایستگاه هواشناسی فقط دمای مربوط به مکان‌های خاص ارایه می‌کند، روش سنجش از دوری می‌تواند دمای مناطق مختلف سطح زمین را در اختیار کاربران قرار دهد. بخصوص مناطق صعب العبور وغیره که به دلیل مشکلاتی امکان احداث ایستگاه‌های هواشناسی در آن محدود نمی‌باشد، این روش می‌تواند جایگزین مناسبی باشد.

نتایج این تحقیق برای برنامه ریزان و کارشناسان در سطح منطقه برای کسب اطلاعات از وضعیت دمای سطح زمین و ارتباط آنها با کاربری‌های اراضی می‌تواند راهگشای تصمیمات مدیریتی برای حفاظت از منابع طبیعی و کشاورزی باشد.

**فصلنامه علمی - پژوهشی اطلاعات جغرافیایی (جغرافیا)**  
برآورد دمای سطح زمین با استفاده از تصاویر ماهواره ... / ۱۸۱

RemoteSensing,37-41

- 19- Offer,R, Qin,Zh ,Derimian,Y, and Karnieli,A,(2014), Derivation of Land Surface Temperature for Landsat-8 TIRS Using a Split Window Algorithm,sensor, 14(4): 5768–5780.
- 20-RajeshwariA , Mani N D,2014, Estimationof Land Surface Temperature ofDindigul District Using Landsat 8 Data, Ijret: International Journal of Research in Engineering and Technology, Volume: 03 Issue: 05, May-2014, Available @ <http://www.ijret.org>
- 21-Shahid,L, 2014, Land Surface Temperature Retrieval of Landsat-8 Data Using Split Window Algorithm- A Case Study of Ranchi District , IJEDR , Volume 2, Issue 4.

- Vegetation Cover Using Spatially-Interpolated Endmembers, Remote Sens. 2012, 4, 2619-2634
- 9- Buettner, K. j. k. and ken; C, D. Determination of infrared Emissivities of terrestrial Surface: J. Geophysical Research; Vol. 70, 1965, p. 1329-1337.
- 10- Feizizadeh.B, Blaschke.T, Nazmfar,H ,Akbari,E and Kohbanani,H,R,(2012), Monitoring land surface temperaturerelationship to land use/land cove from satellite imagery in MaraqehCounty, Iran, Journal of Environmental Planning and Management 2012, 1–26.
- 11-Gao, C.; Li, Z.-L.; Qiu, S.; Tang, B.; Wu, H.; Jiang, X. An improved algorithm for retrieving land surface emissivity and temperature from MSG-2/SEVIRI data. IEEE Trans. Geosci. Remote Sens. 2014, 52, 3175–3191
- 12-García-Haro, F.J., F. Camacho-de Coca, J. Meliá, B. Martínez, Operational derivation of vegetation products in the framework of the LSA SAF project, (2005), EUMETSAT Meteorological Satellite Conference. Dubrovnik (Croatia). 19-23 Septiembre, in press.
- 13-García-Haro, F.J., S. Sommer, T. Kemper (2005), Variable multiple endmember spectral mixture analysis (VMESMA), International Journal of Remote Sensing, 26:2135-2162.
- 14-Hu Yang, Zhongdong Yang, A modified land surface temperature split window retrieval algorithm and its applications over China, Global and Planetary Change, Volume 52, Issues 1–4, July 2006, Pages 207-215, ISSN 0921-8181, <http://dx.doi.org/10.1016/j.gloplacha.2006.02.015>
- 15-Johnson,B, Tateishi,R andKobayashi,T Remote Sensing of Fractional Green Vegetation Cover Using Spatially-Interpolated Endmembers, Remote Sens. 2012, 4, 2619-2634
- 16-Kassa, A.(1990). Drought risk monitoring for Sudan using NDVI, 1982-1993. A
- 17- Li, Z.-L.; Tang, B.-H.; Wu, H.; Ren, H.; Yan, G.; Wan, Z.; Trigo, I.F.; Sobrino, J.A.Satellite-derived land surface temperature: Current status and perspectives. Remote Sens. Environ. 2013, 131, 14–37.
- 18- Mao And other,(2008), A practical split-window algorithm for retrieving land-surface temperature from MODIS data, International Journal of

